

Νεοπλάσματα ελύτρων περιφερικών νεύρων και λιπώδους ιστού

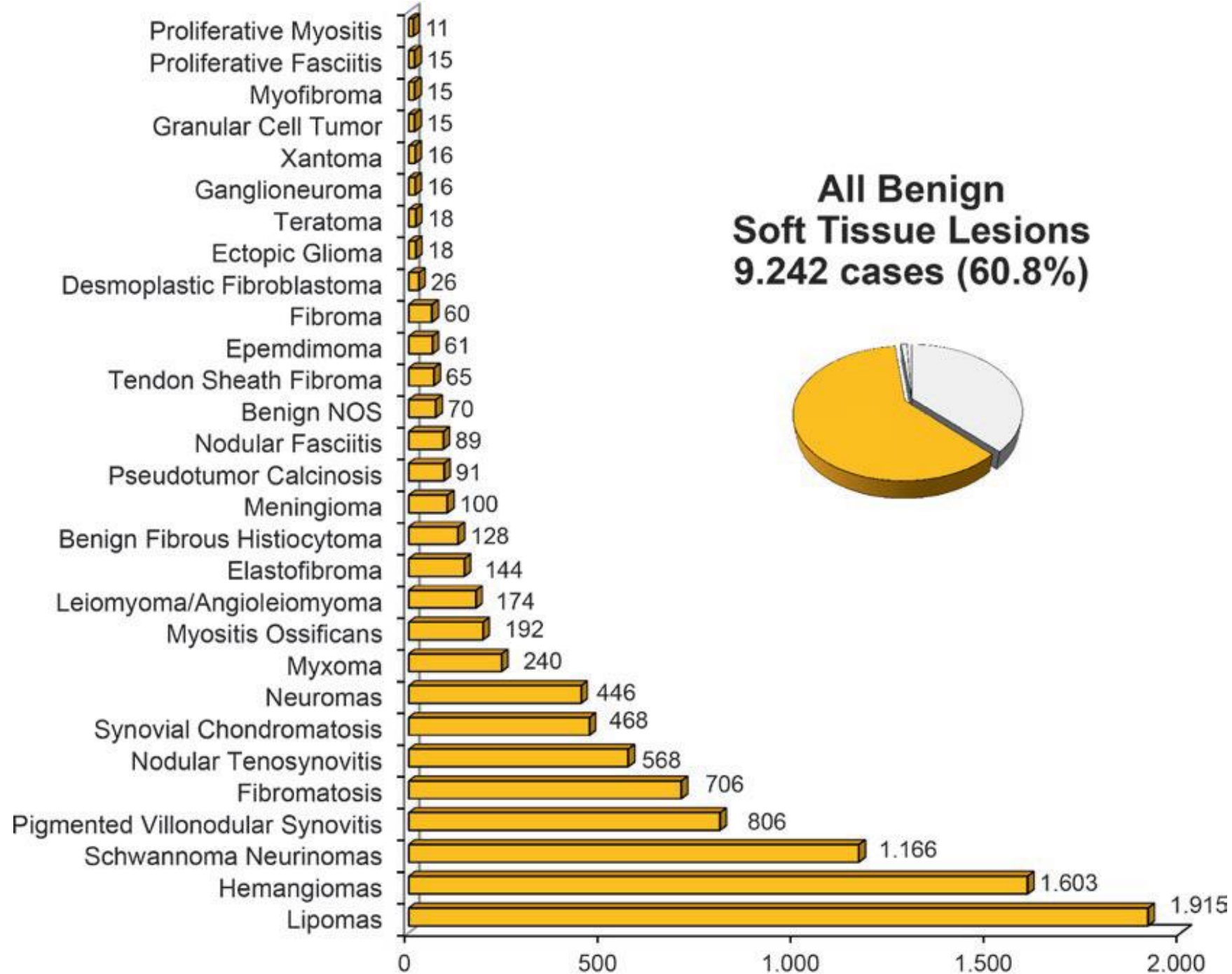
Σωτήρης Σωτηρίου

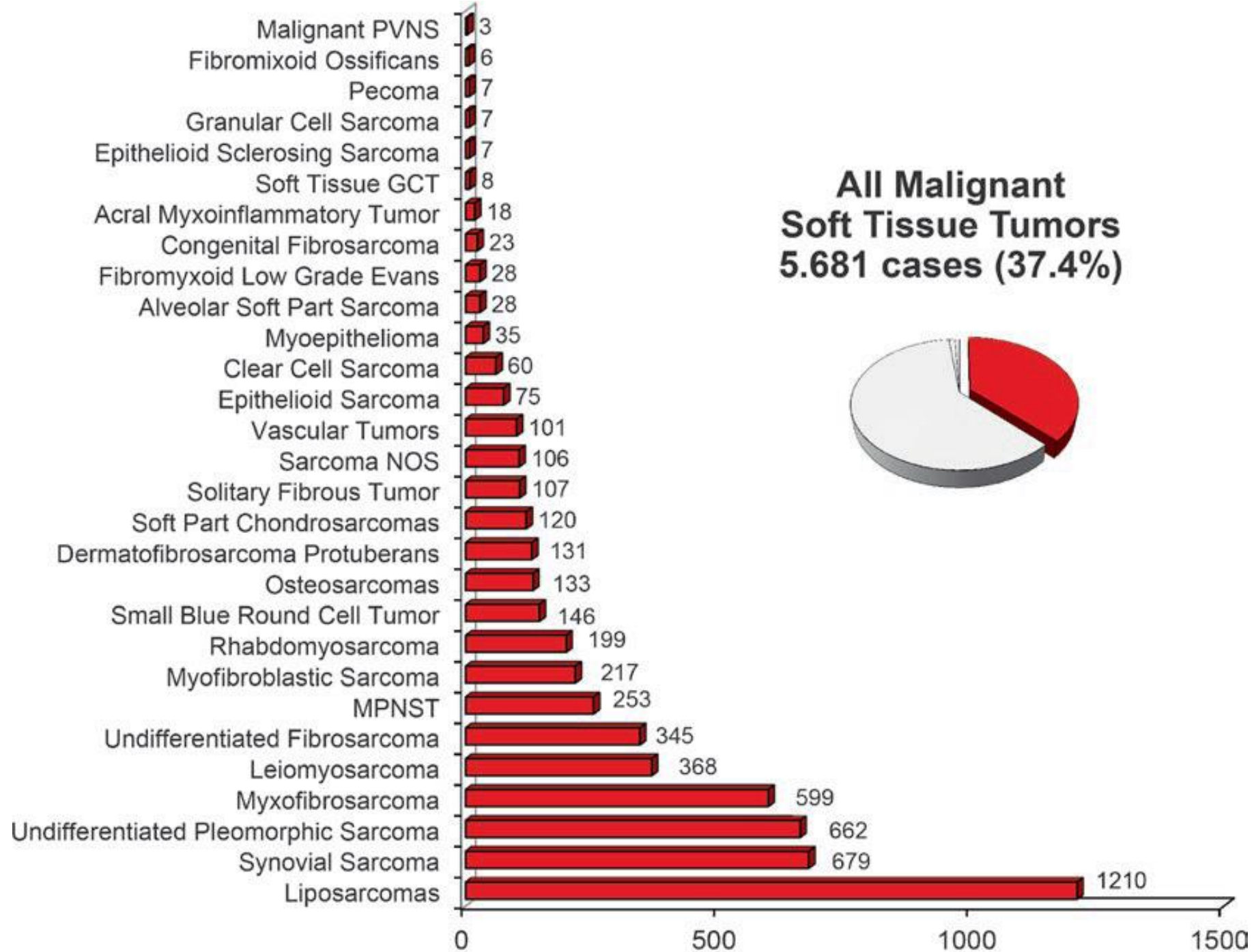
Παθολογοανατόμος, Β' επιμελητής

Πανεπιστημιακό Γενικό Νοσοκομείο Θεσσαλονίκης (ΑΧΕΠΑ)

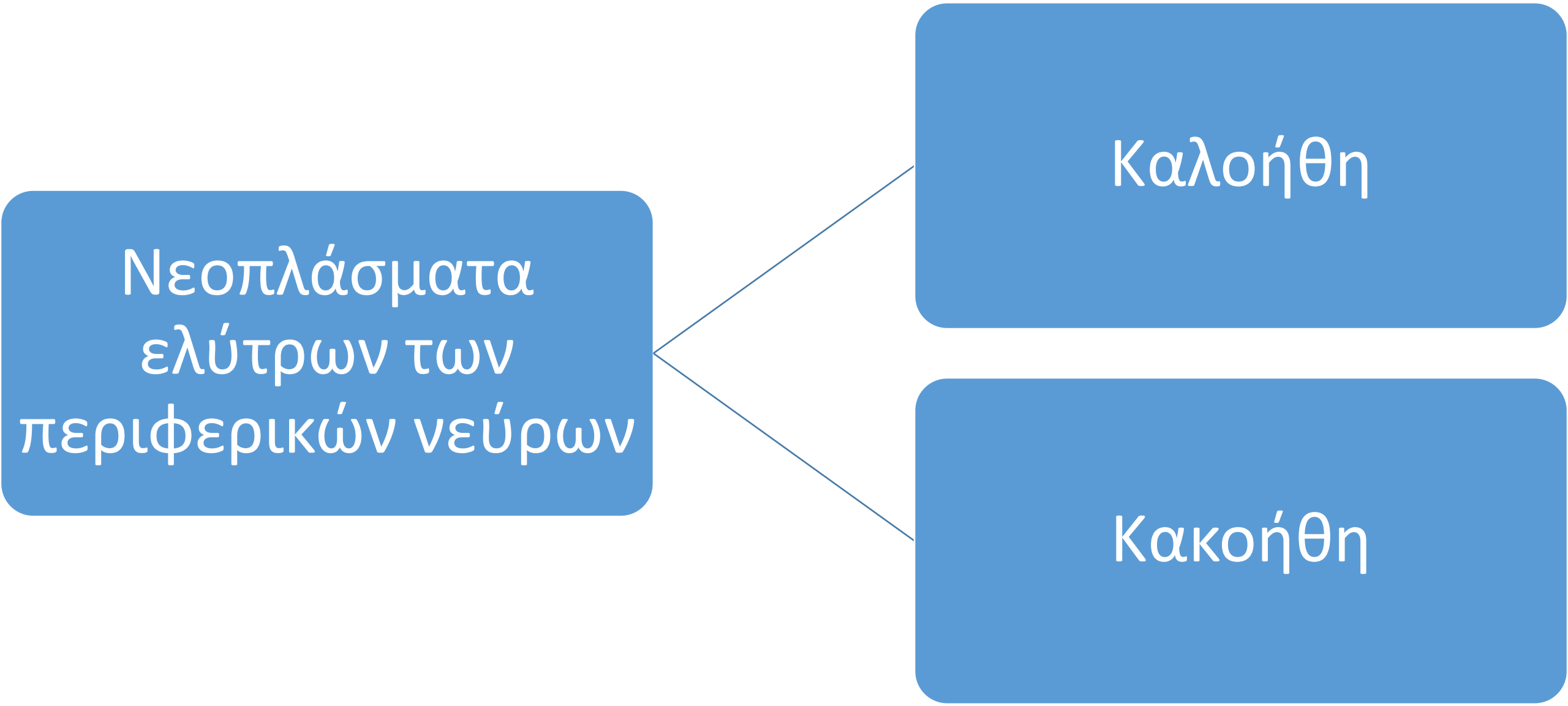
Περιεχόμενα

- Βασικές αρχές προσέγγισης των νεοπλασμάτων των ελύτρων των περιφερικών νεύρων και του λιπώδους ιστού
- Ανασκόπηση των κυριότερων οντοτήτων
- Παραδείγματα





Νεοπλάσματα
ελύτρων των
περιφερικών νεύρων



```
graph LR; A[Νεοπλάσματα ελύτρων των περιφερικών νεύρων] --> B[Καλοήθη]; A --> C[Κακοήθη]
```

Καλοήθη

Κακοήθη

Νεοπλάσματα των ελύτρων των περιφερικών νεύρων

Καλοήθη

1. Neurofibroma NOS (ICD-O: 9540/0)
 - Neurofibroma with atypia/Ancient neurofibroma
 - Cellular neurofibroma
 - Atypical neurofibroma (AN)/Atypical Neurofibromatous Neoplasm of Uncertain Biologic Potential (ANNUBP)
 - Plexiform neurofibroma (ICD-O: 9550/0)
2. Schwannoma NOS (ICD-O: 9560/0)
 - Ancient schwannoma
 - Cellular schwannoma
 - Plexiform schwannoma
 - Epithelioid schwannoma
 - Microcystic/reticular schwannoma
3. Perineurioma NOS (ICD-O: 9571/0)
 - Reticular perineurioma
 - Sclerosing perineurioma
4. Hybrid nerve sheath tumour (ICD-O: 9563/0)
 - Perineurioma/Schwannoma
 - Schwannoma/Neurofibroma
 - Perineurioma/Neurofibroma

Κακοήθη

1. Malignant Peripheral Nerve Sheath Tumour (MPNST) NOS (ICD-O: 9540/3)
 - Malignant Peripheral Nerve Sheath Tumour (MPNST), epithelioid (ICD-O: 9542/3)
2. Malignant Melanotic Nerve Sheath Tumour (MMNST) (ICD-O: 9540/3)
3. Perineurioma, malignant (ICD-O: 9571/3)

Νεοπλάσματα των ελύτρων των περιφερικών νεύρων

Καλοήθη

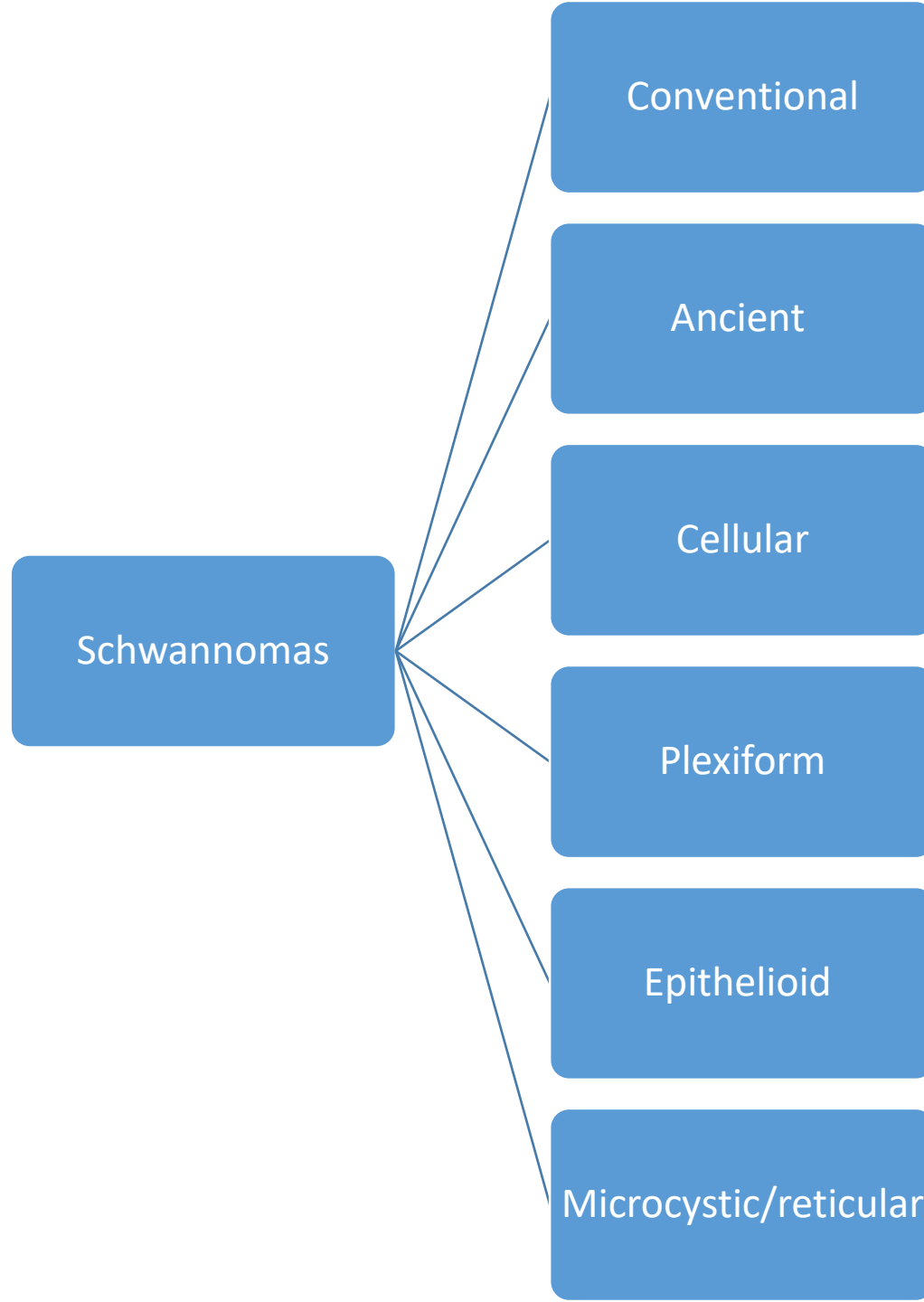
5. Granular cell tumour NOS (ICD-O: 9580/0)
6. Nerve sheath myxoma (ICD-O: 9562/0)
7. Solitary circumscribed neuroma (ICD-O: 9570/0)
 - Plexiform solitary circumscribed neuroma
8. Benign triton tumour / Neuromuscular choristoma

Κακοήθη

4. Granular cell tumour, malignant (ICD-O: 9580/3)

Επιδημιολογία

- Schwannoma NOS (ICD-O: 9560/0)
- Ενήλικες (4-6^η δεκαετία)
- Επιπολής ή εν τω βάθει θέσεις
- Κεφαλή/τράχηλος, άνω/κάτω άκρα, σπονδυλική στήλη
- <10 εκ.
- Σποραδικά (90%) – *NF2*-inactivating mutations and loss
- Πολλαπλά σβανώματα – στα πλαίσια νευρινωμάτωσης τύπου 2 (*NF2*) ή σβανωμάτωσης (Schwannomatosis)
- Σβανωμάτωση (Schwannomatosis) – *SMARCB1* or *LZTR1* inactivating mutations



Schwannoma NOS (ICD-O: 9560/0)

Μορφολογικά ευρήματα

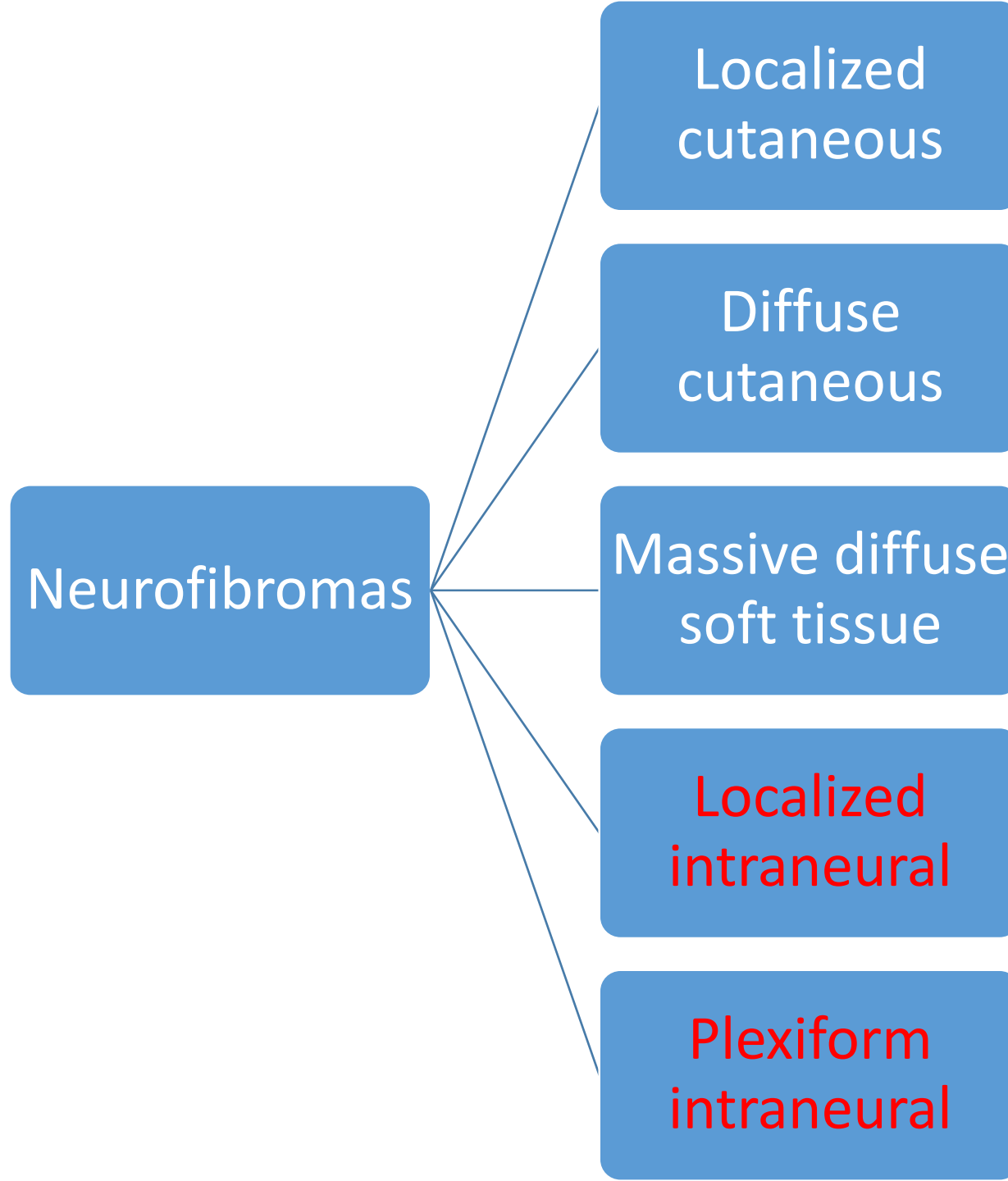
- Εγκαψωμένο νεόπλασμα
- Μονός κυτταρικός πληθυσμός: Κύτταρα Schwann
- Περιοχές υψηλής κυτταροβρίθειας (Antoni A) – Verocay bodies
- Περιοχές χαμηλής κυτταροβρίθειας (Antoni B)
- Παχυτοιχωματικά αγγεία με υαλοειδοποιημένο τοίχωμα
- Λεμφοκυτταρικές αθροίσεις κυρίως υποκαψικά
- Απουσία κυτταρικής ατυπίας (εξαίρεση ancient schwannoma)
- Απουσία νεκρώσεων (εξαίρεση ancient και cellular schwannoma)

Ανοσοϊστοχημικά ευρήματα

- SOX10, S-100: Εκτεταμένη και διάχυτη +
- CD34: Απουσία δικτύου ινοβλαστικών κυττάρων (lattice-like)
- NF: -
- Ki-67/MIB-1: Χαμηλό (εξαίρεση cellular schwannoma)
- p16: Διατήρηση
- p53: - (εξαίρεση cellular schwannoma)
- H3K27m3: Διατήρηση

Επιδημιολογία/Παθογένεια

- Neurofibroma NOS (ICD-O: 9540/0)
- Σποραδικά (90%) – *NF1*-inactivating mutations and loss
- Συνδρομικά στα πλαίσια Νευρινωμάτωσης τύπου 1 (NF1)
- NF1 patients (9–13% develop MPNST)



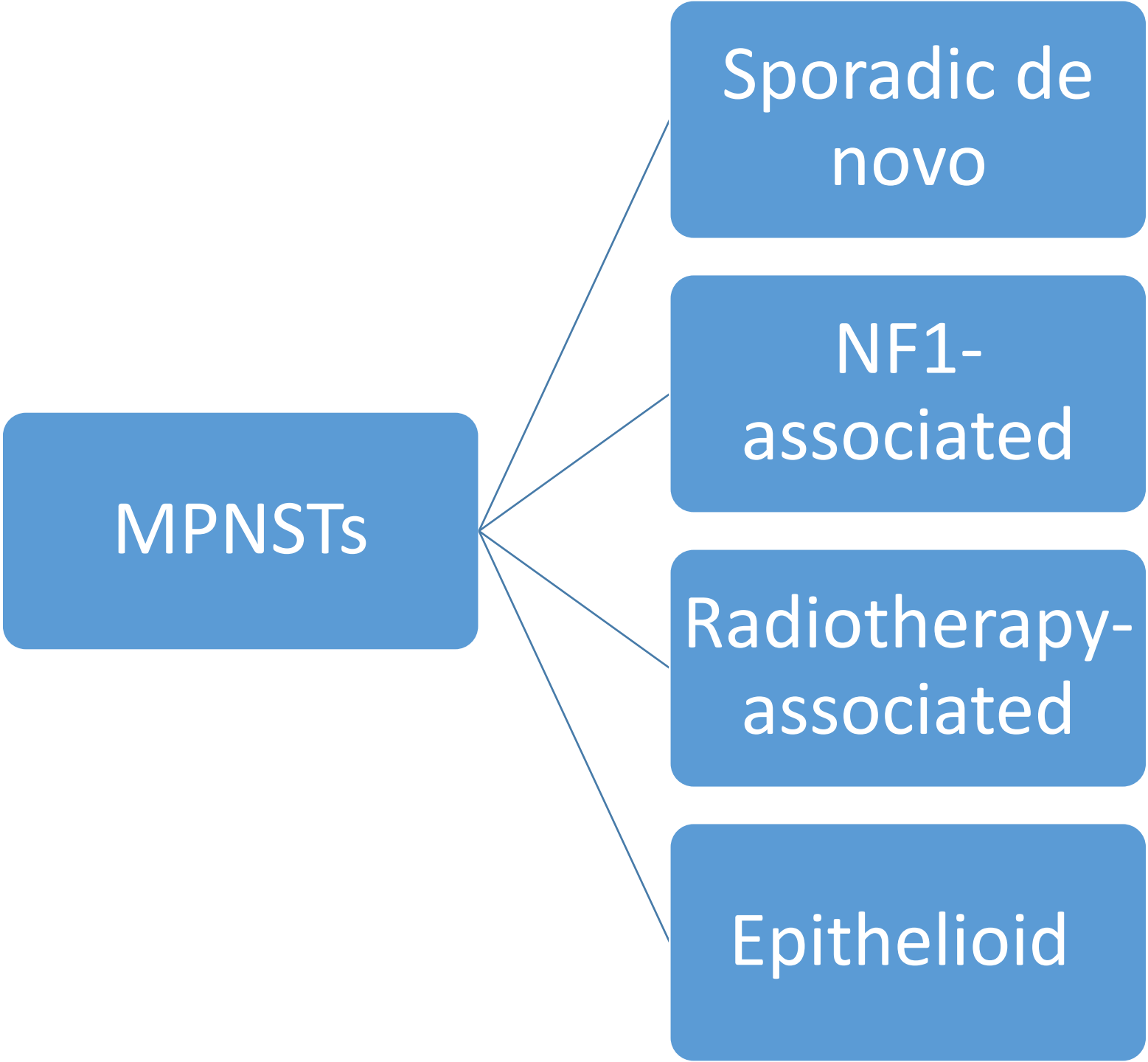
1	Six or more café au lait macules over 5mm in greatest diameter in prepubertal individuals, and over 15mm in the greatest diameter in postpubertal individuals.
2	Two or more neurofibromas of any type, or one plexiform neurofibroma.
3	Freckling in the axillary or inguinal regions.
4	Optic glioma.
5	Two or more Lisch nodules (iris hamartomas).
6	A distinctive osseous lesion, such as sphenoid dysplasia or thinning of long bone cortex, with or without pseudarthrosis.
7	A first-degree relative (parent, sibling or offspring) with NF1 by the above criteria.

Table 1. Diagnostic criteria for NF1.* Confirmed when two or more of the described features are present.

*NIH Criteria. Neurofibromatosis: Conference Statement. Arch Neurol. 1988;45 (5):575–578. doi:10.1001/archneur.1988.00520290115023

Επιδημιολογία/Παθογένεια

- Malignant peripheral nerve sheath tumour (MPNST) (ICD-O: 9540/3)
- Ενήλικες (3-6^η δεκαετία)
- NF1 patients (9–13% develop MPNST)
- 1/4-1/2 (in the setting of NF1)
- 5-10% of soft tissue sarcomas
- Inactivating mutations of *NF1*
- Inactivating mutations of *CDKN2A*, *p53*, *RB1*
- Inactivating mutations of PRC2 complex (*EED* and *SUZ12*)



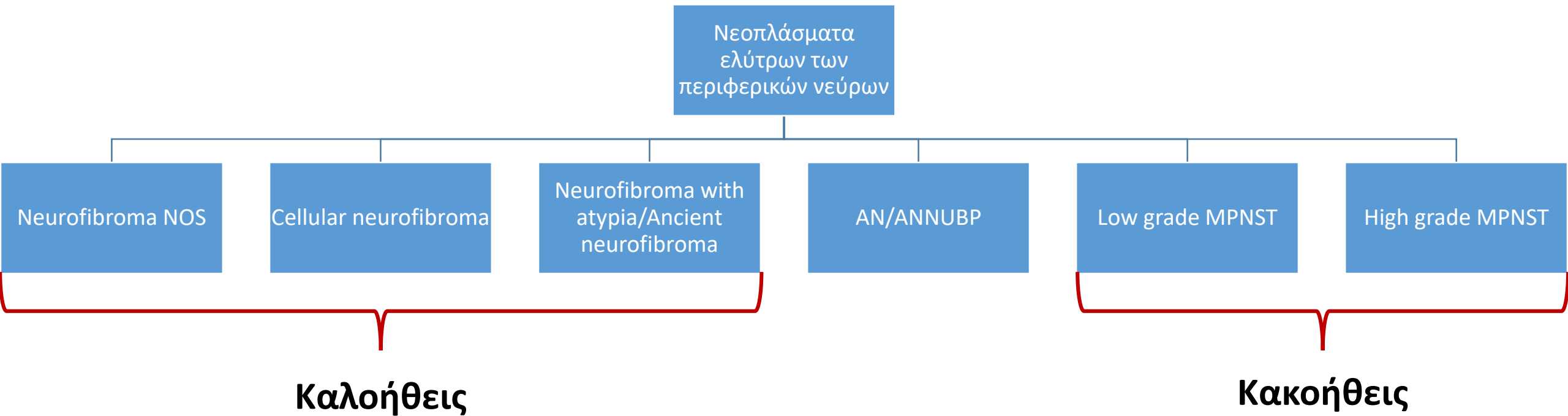
Neurofibroma NOS (ICD-O: 9540/0)

Μορφολογικά ευρήματα

- Μη εγκαψωμένο νεόπλασμα
- Μικτός κυτταρικός πληθυσμός: Κύτταρα Schwann, περινευρικά κύτταρα, ινοβλάστες
- Χαμηλή κυτταροβρίθεια
- Μυξοειδές υπόστρωμα
- Ινώδες υπόστρωμα (ποικίλου μεγέθους και πάχους κολλαγόνες ίνες)
- Μαστοκύτταρα
- Απουσία νεκρώσεων

Ανοσοϊστοχημικά ευρήματα

- SOX10, S-100: Εκτεταμένη αλλά όχι διάχυτη +
- CD34: Δίκτυο ινοβλαστικών κυττάρων (lattice-like)
- EMA, GLUT-1: Περινευρικά κύτταρα
- p16: Συνήθως διατήρηση
- p53: -
- Ki-67/MIB-1: Χαμηλό
- H3K27m3: Διατήρηση
- NF: Εγκλωβισμένοι νευράξονες (κυρίως ενδονευρικό)



Οντότητες/Ευρήματα	Cellular neurofibroma	Neurofibroma with atypia/Ancient neurofibroma
Μορφολογικά ευρήματα	<ul style="list-style-type: none"> Μορφολογικά ευρήματα Neurofibroma NOS Απουσία κυτταρολογικής ατυπίας <1 μιτώσεις/50 HPFs Διατήρηση αρχιτεκτονικού προτύπου νευρινώματος Απουσία νεκρώσεων Αυξημένη κυτταροβρίθεια 	<ul style="list-style-type: none"> Μορφολογικά ευρήματα Neurofibroma NOS Απουσία κυτταροβρίθειας <1 μιτώσεις/50 HPFs Διατήρηση αρχιτεκτονικού προτύπου νευρινώματος Απουσία νεκρώσεων Μεμονωμένα άτυπα κύτταρα
Ανοσοϊστοχημικά ευρήματα	<ul style="list-style-type: none"> SOX10, S-100: Εκτεταμένη αλλά όχι διάχυτη + CD34: Δίκτυο ινοβλαστικών κυττάρων (lattice-like) p16: Συνήθως διατήρηση p53: - Ki-67/MIB-1: Χαμηλό H3K27m3: Διατήρηση 	<ul style="list-style-type: none"> SOX10, S-100: Εκτεταμένη αλλά όχι διάχυτη + CD34: Δίκτυο ινοβλαστικών κυττάρων (lattice-like) p16: Συνήθως διατήρηση p53: - Ki-67/MIB-1: Χαμηλό H3K27m3: Διατήρηση

Οντότητες/Ευρήματα	AN/ANNUBP	Low grade MPNST	High grade MPNST
Μορφολογικά ευρήματα	<ul style="list-style-type: none"> • Τουλάχιστον 2 εκ των 4: 1. Ήπια κυτταρολογική ατυπία 2. Αυξημένη κυτταροβρίθεια 3. Απώλεια αρχιτεκτονικού προτύπου νευρινώματος 4. >1 μιτώσεις/50 HPFs και <3 μιτώσεις/10 HPFs • Απουσία νεκρώσεων 	<p>Μορφολογικά ευρήματα ANNUBP:</p> <ul style="list-style-type: none"> • Ήπια κυτταρολογική ατυπία • Αυξημένη κυτταροβρίθεια • Απώλεια αρχιτεκτονικού προτύπου νευρινώματος • Απουσία νεκρώσεων • 3-9 μιτώσεις/10 HPFs 	<p>Μορφολογικά ευρήματα MPNST:</p> <ul style="list-style-type: none"> • Έντονη κυτταρολογική ατυπία • Αυξημένη κυτταροβρίθεια • Απώλεια αρχιτεκτονικού προτύπου νευρινώματος • >10 μιτώσεις/10 HPFs • 3-9 μιτώσεις/10 HPFs με παρουσία νεκρώσεων
Ανοσοϊστοχημικά ευρήματα	<ul style="list-style-type: none"> • SOX10, S-100: Εκτεταμένη αλλά όχι διάχυτη + • CD34: Απώλεια δικτύου ινοβλαστικών κυττάρων +/- • p16: Συχνά απώλεια • p53: - • Ki-67/MIB-1: +/- • H3K27m3: Διατήρηση 	<ul style="list-style-type: none"> • SOX10, S-100: Εστιακή + • CD34: Απώλεια δικτύου ινοβλαστικών κυττάρων • p16: Συχνά απώλεια • p53: +/- • Ki-67/MIB-1: + • H3K27m3: Πιθανόν απώλεια 	<ul style="list-style-type: none"> • SOX10, S-100: Εστιακή + • CD34: Απώλεια δικτύου ινοβλαστικών κυττάρων • p16: Συχνά απώλεια • p53: +/- • Ki-67/MIB-1: ++ • H3K27m3: Συχνά απώλεια

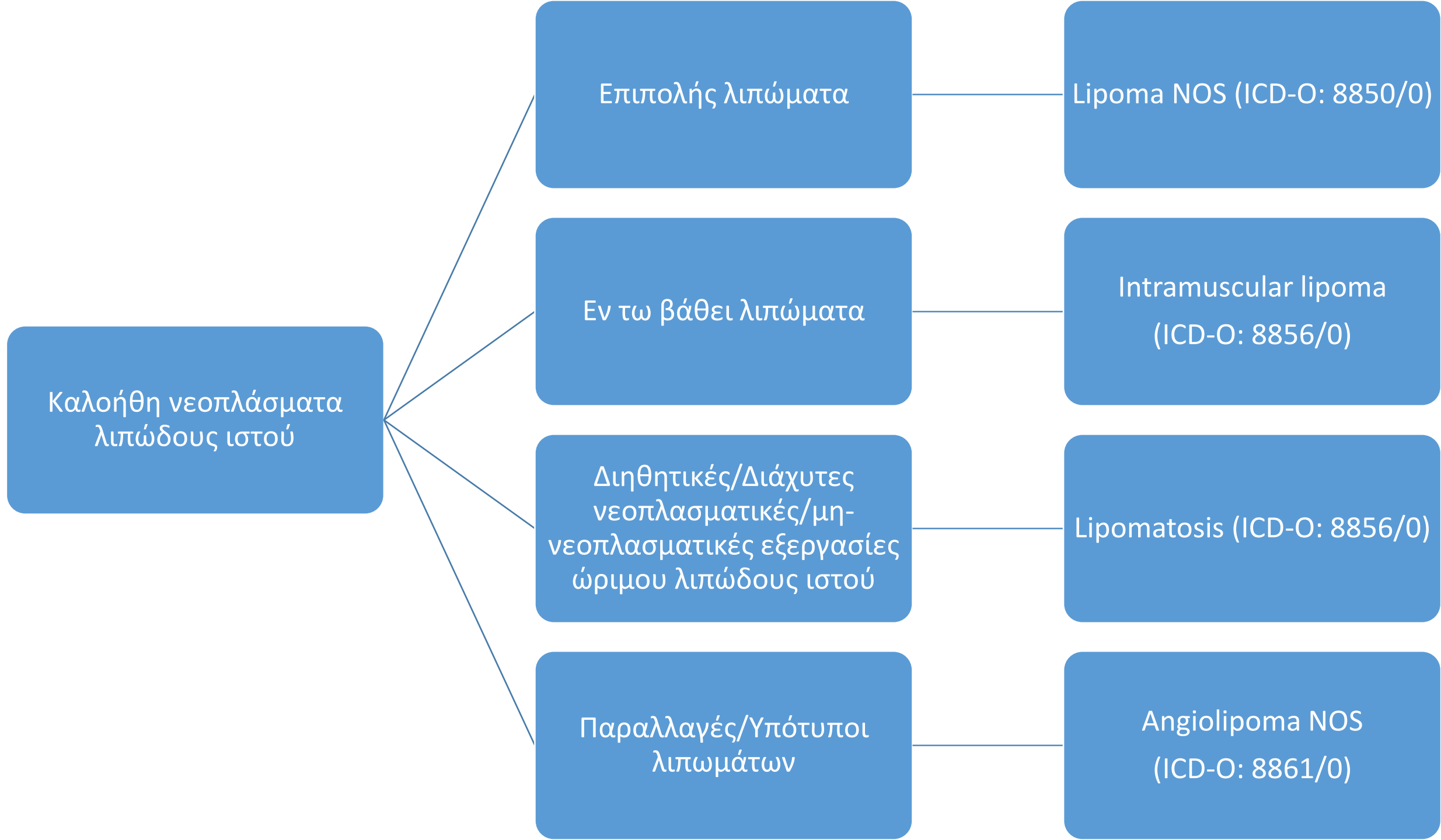
Νεοπλάσματα
λιπώδους ιστού

```
graph LR; A[Νεοπλάσματα λιπώδους ιστού] --- B[Καλοήθειες]; A --- C[Ενδιάμεσου βαθμού κακοήθειας]; A --- D[Κακοήθειες];
```

Καλοήθειες

Ενδιάμεσου
βαθμού
κακοήθειας

Κακοήθειες



Νεοπλάσματα λιπώδους ιστού

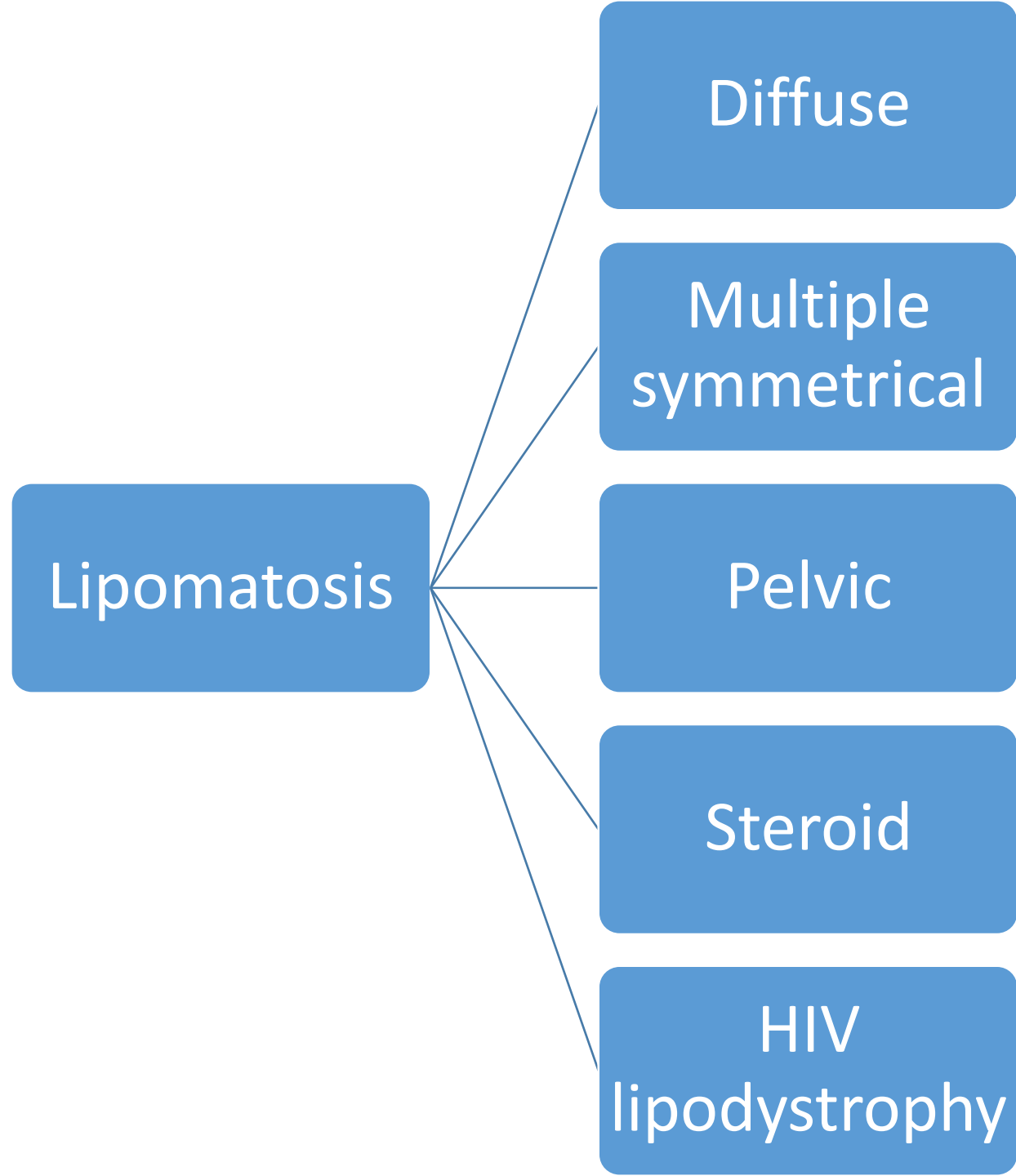
Καλοήθη

1. Lipoma NOS (ICD-O: 8850/0) / Lipomatosis
2. Intramuscular lipoma (ICD-O: 8856/0)
3. Lipoblastoma / Lipoblastomatosis (ICD-O: 8881/0)
4. Angiolipoma NOS (ICD-O: 8861/0)
 - Cellular angiolipoma
5. Myolipoma (ICD-O: 8890/0)
6. Chondroid lipoma (ICD-O: 8862/0)
7. Spindle cell lipoma (ICD-O: 8857/0)
8. Atypical spindle cell/pleomorphic lipoma (ICD-O: 8857/0)
9. Hibernoma (ICD-O: 8880/0)

Κακοήθη

1. Well differentiated liposarcoma (WDL) (ICD-O: 8851/3)
2. Dedifferentiated liposarcoma (DDLPS) (ICD-O: 8858/3)
3. Myxoid liposarcoma (MLPS) (ICD-O: 8852/3)
4. Pleomorphic liposarcoma (PLPS) (ICD-O: 8854/3)
 - Epithelioid liposarcoma
5. Myxoid pleomorphic liposarcoma (MPLPS) (ICD-O: 8859/3)

Lipoma NOS (ICD-O: 8850/0) / Lipomatosis				
Επιδημιολογικά στοιχεία	Μακροσκοπικά ευρήματα	Μικροσκοπικά ευρήματα	Μοριακές αλλαγές	Πρόγνωση
<ul style="list-style-type: none"> Ενήλικες (5-7^η δεκαετία) Επιπολής >> εν τω βάθει θέσεις (μηρός) 	<ul style="list-style-type: none"> Καλά περιγεγραμμένη, εγκαψωμένη υποδόρια ή εν τω βάθει εξεργασία (<5 εκ.) (Λίπωμα) Διάχυτη εξεργασία σε εν τω βάθει θέσεις μαλακών μορίων (Λιπομάτωση) Λιπωματώδης υφή Εστιακά μυξοειδής/ινώδης σύσταση 	<ul style="list-style-type: none"> Ώριμα λιποκύτταρα Απουσία ουσιώδους ποικιλίας του μεγέθους των λιποκυττάρων Απουσία λιποβλαστών Απουσία αγγειοϊνωδών διαφραγματίων Μυξοειδές στρώμα (Μυξολίπωμα ή Αγγιομυξολίπωμα) Ινώδες στρώματα (ινολίπωμα ή σκληρυντικό λίπωμα) Παρουσία μεταπλαστικού χόνδρου (χονδρολίπωμα) Παρουσία μεταπλαστικού οστού (οστεολίπωμα) 	<ul style="list-style-type: none"> 12q13-q15 αναδιατάξεις <i>HMGA2</i> γονιδιακές συντήξεις 	<ul style="list-style-type: none"> Χαμηλό ποσοστό τοπικής υποτροπής Απουσία μεταστατικού δυναμικού



Angiolipoma NOS (ICD-O: 8861/0)				
Επιδημιολογικά στοιχεία	Μακροσκοπικά ευρήματα	Μικροσκοπικά ευρήματα	Μοριακές αλλαγές	Πρόγνωση
<ul style="list-style-type: none"> • Ενήλικες (2-4^η δεκαετία) • Επιπολής θέσεις • Αντιβράχιο (2/3) • Συχνά πολλαπλά (2/3) • 5% οικογενείς • Επίπονη βλάβη 	<ul style="list-style-type: none"> • Καλά περιγεγραμμένη, εγκαψωμένη υποδόρια εξεργασία (2 εκ.) • Λιπωματώδης υφή 	<ul style="list-style-type: none"> • Όριμα λιποκύτταρα • Απουσία ουσιώδους ποικιλίας του μεγέθους των λιποκυττάρων • Απουσία λιποβλαστών • Παρουσία τριχοειδούς τύπου αγγείων με θρόμβους ινικής (κυρίως στην περιφέρεια) 	<ul style="list-style-type: none"> • <i>PRKD2</i> μεταλλάξεις 	<ul style="list-style-type: none"> • Εξαιρετικά σπάνια τοπική υποτροπή • Απουσία μεταστατικού δυναμικού

Spindle cell lipoma (ICD-O: 8857/0)				
Επιδημιολογικά στοιχεία	Μακροσκοπικά ευρήματα	Μικροσκοπικά ευρήματα	Μοριακές αλλαγές	Πρόγνωση
<ul style="list-style-type: none"> • Ενήλικες (5-7^η δεκαετία) • Επιπολής θέσεις • Ωμική ζώνη και πλάτη (80%) • A>>Θ 	<ul style="list-style-type: none"> • Καλά περιγεγραμμένη, εγκαψωμένη υποδόρια εξεργασία (<5 εκ.) • Λιπωματώδης υφή • Εστιακά μυξοειδής σύσταση 	<ul style="list-style-type: none"> • Όριμα λιποκύτταρα • Απουσία ουσιώδους ποικιλίας του μεγέθους των λιποκυττάρων • Παχιές ηωσινόφιλες δεσμίδες κολλαγόνων ινών (ropy collagen bundles) • Εστίες μυξοειδούς εκφύλισης • Μαστοκύτταρα εντός του στρώματος • Ατρακτοειδή κύτταρα/πολυπύρηνων γιγαντοκυττάρων με πλειόμορφους χαρακτήρες (floret cells) - CD34+, Rb1- • Πιθανή παρουσία λιποβλαστών 	<ul style="list-style-type: none"> • 13q14 loss • <i>Rb1</i> deletion 	<ul style="list-style-type: none"> • Χαμηλό ποσοστό τοπικής υποτροπής • Απουσία μεταστατικού δυναμικού

Hibernoma (ICD-O: 8880/0)				
Επιδημιολογικά στοιχεία	Μακροσκοπικά ευρήματα	Μικροσκοπικά ευρήματα	Μοριακές αλλαγές	Πρόγνωση
<ul style="list-style-type: none"> Ενήλικες (3^η δεκαετία) Επιπολής ή εν τω βάθει θέσεις 	<ul style="list-style-type: none"> Καλά περιγεγραμμένη, εγκαψωμένη εξεργασία (5-15 εκ.) Λευκόφαιης έως καστανόφαιης χροιάς 	<ul style="list-style-type: none"> Πολυγωνικού σχήματος κύτταρα Αραιχρωματικό λεπτοκοκκώδες ηωσινόφιλο κυτταρόπλασμα Πολλαπλά μικρού μεγέθους ενδοκυτταροπλασματικά κενοτόπια Υποστρόγγυλους κεντρικά τοποθετημένους πυρήνες Ώριμα λιποκύτταρα 	<ul style="list-style-type: none"> <i>MEN1</i> deletion 	<ul style="list-style-type: none"> Χαμηλό ποσοστό τοπικής υποτροπής Απουσία μεταστατικού δυναμικού

Lipoblastoma / Lipoblastomatosis (ICD-O: 8881/0)				
Επιδημιολογικά στοιχεία	Μακροσκοπικά ευρήματα	Μικροσκοπικά ευρήματα	Μοριακές αλλαγές	Πρόγνωση
<ul style="list-style-type: none"> • Βρέφη/παιδιά (75-90% <3 ετών) • Κορμός/άκρα 	<ul style="list-style-type: none"> • Καλά περιγεγραμμένη, υποδόρια εξεργασία (<5 εκ.) (Λιποβλάστωμα) • Διάχυτη εξεργασία σε εν τω βάθει θέσεις μαλακών μορίων (Λιποβλαστωμάτωση) • Οζοειδής διαμόρφωση • Λιπωματώδης υφή • Εστιακά μυξοειδής σύσταση 	<ul style="list-style-type: none"> • Ομοιόμορφα ωοειδή/ατρακτομορφα αρχέγονα μεσεγχυματικά κύτταρα • Λιποβλάστες σε διάφορα στάδια ωρίμανσης • Ώριμα λιποκύτταρα • Απουσία πλειόμορφων λιποβλαστών • Ζωνοειδής κατανομή • Αγγειοϊνώδη διαφραγμάτια • Μυξοειδές στρώμα • Πλούσιο τριχοειδές αγγειακό δίκτυο (“chicken-wire”) • Δίκην “πνευμονικού οιδήματος” πρότυπο ανάπτυξης 	<ul style="list-style-type: none"> • <i>PLAG1</i> αναδιάταξη/γονιδιακή σύντηξη 	<ul style="list-style-type: none"> • 13-46% τοπική υποτροπή • Απουσία μεταστατικού δυναμικού

Atypical lipomatous tumor (ALT) (ICD-O: 8850/1)

Well differentiated liposarcoma (WDL) (ICD-O: 8851/3)

Επιδημιολογικά στοιχεία	Μακροσκοπικά ευρήματα	Μικροσκοπικά ευρήματα	Μοριακές αλλαγές	Πρόγνωση
<ul style="list-style-type: none"> • Συχνότερο λιποσάρκωμα (40-45% λιποσαρκωμάτων) • Ενήλικες (4-5^η δεκαετία) • Μηρός, οπισθοπεριτόναιο και σπερματικός τόνος • Σπάνια μεσοθωράκιο • Συχνότερο λιποσάρκωμα του μεσοθωρακίου 	<ul style="list-style-type: none"> • Ευμεγέθης περιγεγραμμένη εξεργασία • Οζοειδής διαμόρφωση • Λιπωματώδης υφή • Εστιακά μυξοειδής σύσταση 	<ul style="list-style-type: none"> • Ώριμα λιποκύτταρα με ποικιλία του μεγέθους τους • Αγγειοϊνώδη διαφραγμάτια με ατρακτόμορφα κυτταρικά στοιχεία με ατυπία • Παρουσία ή απουσία λιποβλαστών 	<ul style="list-style-type: none"> • MDM2/CDK4 + • 12q13-15 ενίσχυση (<i>MDM2, CDK4</i>) • Σύνδρομο Li-Fraumeni 	<ul style="list-style-type: none"> • Συχνή τοπική υποτροπή/αποδιαφοροποίηση ανάλογα με την θέση εντόπισης • Απουσία μεταστατικού δυναμικού

Well differentiated
liposarcoma (WDL)
(ICD-O: 8851/3)

```
graph LR; A[Well differentiated liposarcoma (WDL) (ICD-O: 8851/3)] --- B[Lipoma-like liposarcoma]; A --- C[Inflammatory liposarcoma]; A --- D[Sclerosing liposarcoma];
```

Lipoma-like
liposarcoma

Inflammatory
liposarcoma

Sclerosing
liposarcoma

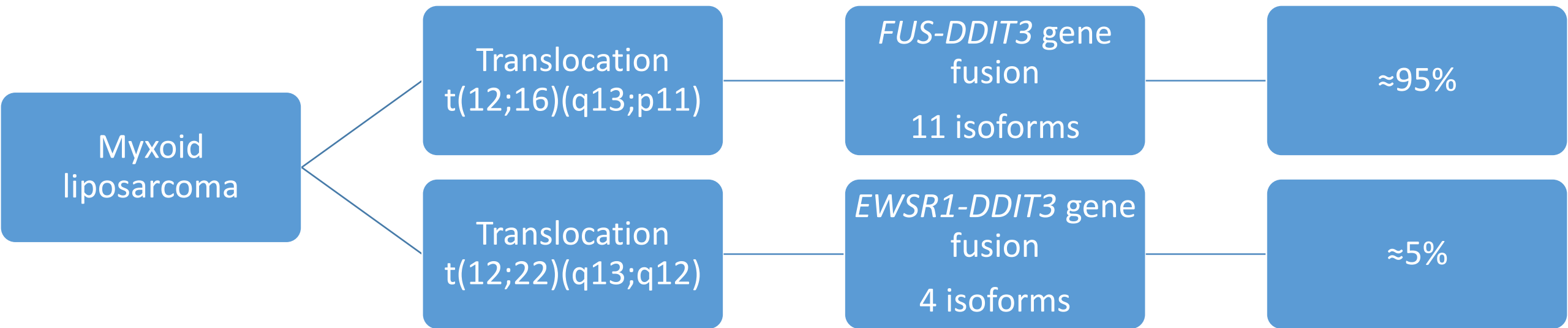
Dedifferentiated liposarcoma (DDLPS) (ICD-O: 8858/3)				
Επιδημιολογικά στοιχεία	Μακροσκοπικά ευρήματα	Μικροσκοπικά ευρήματα	Μοριακές αλλαγές	Πρόγνωση
<ul style="list-style-type: none"> • Συχνή οντότητα • Οπισθοπεριτόναιο και σπερματικός τόνος • Σπάνια μεσοθωράκιο • 2^ο συχνότερο λιποσάρκωμα του μεσοθωρακίου 	<ul style="list-style-type: none"> • Ευμεγέθης περιγεγραμμένη εξεργασία • Οζοειδής διαμόρφωση • Λιπωματώδης υφή • Λευκόφαιη-καστανόφαιη σαρκωματοειδούς υφής επιφάνεια διατομής (περιοχή αποδιαφοροποίησης) • Εστιακά μυξοειδής σύσταση 	Περιοχή αποδιαφοροποίησης: <ul style="list-style-type: none"> • Ποικίλουσα μορφολογία • Χαμηλού βαθμού αποδιαφοροποίηση • Υψηλού βαθμού αποδιαφοροποίηση (αδιαφοροποίητη μορφολογία, ετερόλογη αποδιαφοροποίηση, ομόλογη αποδιαφοροποίηση) 	<ul style="list-style-type: none"> • MDM2/CDK4 + • 12q13-15 ενίσχυση (<i>MDM2</i>, <i>CDK4</i>) 	<ul style="list-style-type: none"> • 40% τοπική υποτροπή • 15-20% μεταστάσεις

Myxoid liposarcoma (MLPS) (ICD-O: 8852/3)

Επιδημιολογικά στοιχεία	Μακροσκοπικά ευρήματα	Μικροσκοπικά ευρήματα	Μοριακές αλλαγές	Πρόγνωση
<ul style="list-style-type: none">• 20-30% λιποσαρκωμάτων• Νεαροί ενήλικες (4^η δεκαετία)• Συχνότερο λιποσάρκωμα στην παιδική/εφηβική ηλικία• 2/3 μηρός• Σπανιότερο λιποσάρκωμα του μεσοθωρακίου	<ul style="list-style-type: none">• Ευμεγέθης (>10 εκ.), περιγεγραμμένη, μη-εγκαψωμένη εξεργασία• Ενδομυϊκή εντόπιση• Οζοειδής διαμόρφωση• Μυξοειδής σύσταση• Νεκρώσεις (σπάνιες)	<ul style="list-style-type: none">• Ομοιόμορφα ωοειδή/ατρακτόμορφα αρχέγονα μεσεγχυματικά κύτταρα• Λιποβλάστες σε διάφορα στάδια ωρίμανσης• Ώριμα λιποκύτταρα• Απουσία πλειόμορφων λιποβλαστών• Μυξοειδές στρώμα• Πλούσιο τριχοειδές αγγειακό δίκτυο (“chicken-wire”)• Δίκην “πνευμονικού οιδήματος” πρότυπο ανάπτυξης• Στρογγυλοκυτταρικό πρότυπο ανάπτυξης	<ul style="list-style-type: none">• CTAG1B/DDIT3 +• <i>FUS/EWSR1-DDIT3</i> γονιδιακή σύντηξη	<ul style="list-style-type: none">• 12-25% τοπική υποτροπή• 30-60% μεταστάσεις• Ακτινοευαισθησία• Χημειοευαισθησία (Trabectedin)

Sites of involvement

- Usually: Deep soft tissue of the extremities/Musculature of the thigh (2/3)
- Rarely: Retroperitoneum or subcutaneous tissue
- Distant metastases (1/3)
- Metastatic sites:
 1. Soft tissue (retroperitoneum, opposite extremity)
 2. Bone (particularly spine)
 3. Lung



Differential diagnosis

Low-grade (Myxoid variant)

- Myxofibrosarcoma (low-grade)
- Pleomorphic myxoid liposarcoma (myxoid pleomorphic liposarcoma)*
- Myxoid atypical lipomatous tumor/well-differentiated liposarcoma-Dedifferentiated liposarcoma (with homologous lipoblastic differentiation)
- Myxoid atypical spindle -cell/pleomorphic lipomatous tumor*
- Intramuscular myxoma (cellular)
- Low-grade fibromyxoid sarcoma
- Deep angiomyxoma
- Myoepithelial tumors/Extraskeletal myxoid chondrosarcoma
- Myxoid leiomyosarcoma, MPNST, synovial sarcoma, dermatofibrosarcoma protuberans, neurofibroma
- Primary pulmonary myxoid sarcoma
- Lipoblastoma

High-grade (Round cell variant)

- Myxofibrosarcoma (high-grade)
- Mesenchymal chondrosarcoma
- Poorly differentiated synovial sarcoma
- Ewing sarcoma
- CIC-rearranged/BCOR-rearranged sarcoma
- Undifferentiated round cell sarcoma
- Dedifferentiated liposarcoma (with or without homologous lipoblastic differentiation)

Case Reports

> Pathol Res Pract. 2016 Nov;212(11):1067-1070. doi: 10.1016/j.prp.2016.08.001.

Epub 2016 Aug 3.

Myxoid liposarcoma with pleomorphic cells: Report of two cases with molecular confirmation of FUS gene rearrangements

Kazuyoshi Uchihashi¹, Atsuji Matsuyama², Masamichi Nakayama³, Akio Sakamoto⁴,
Eisuke Shiba², Masanori Hisaoka²

Affiliations + expand

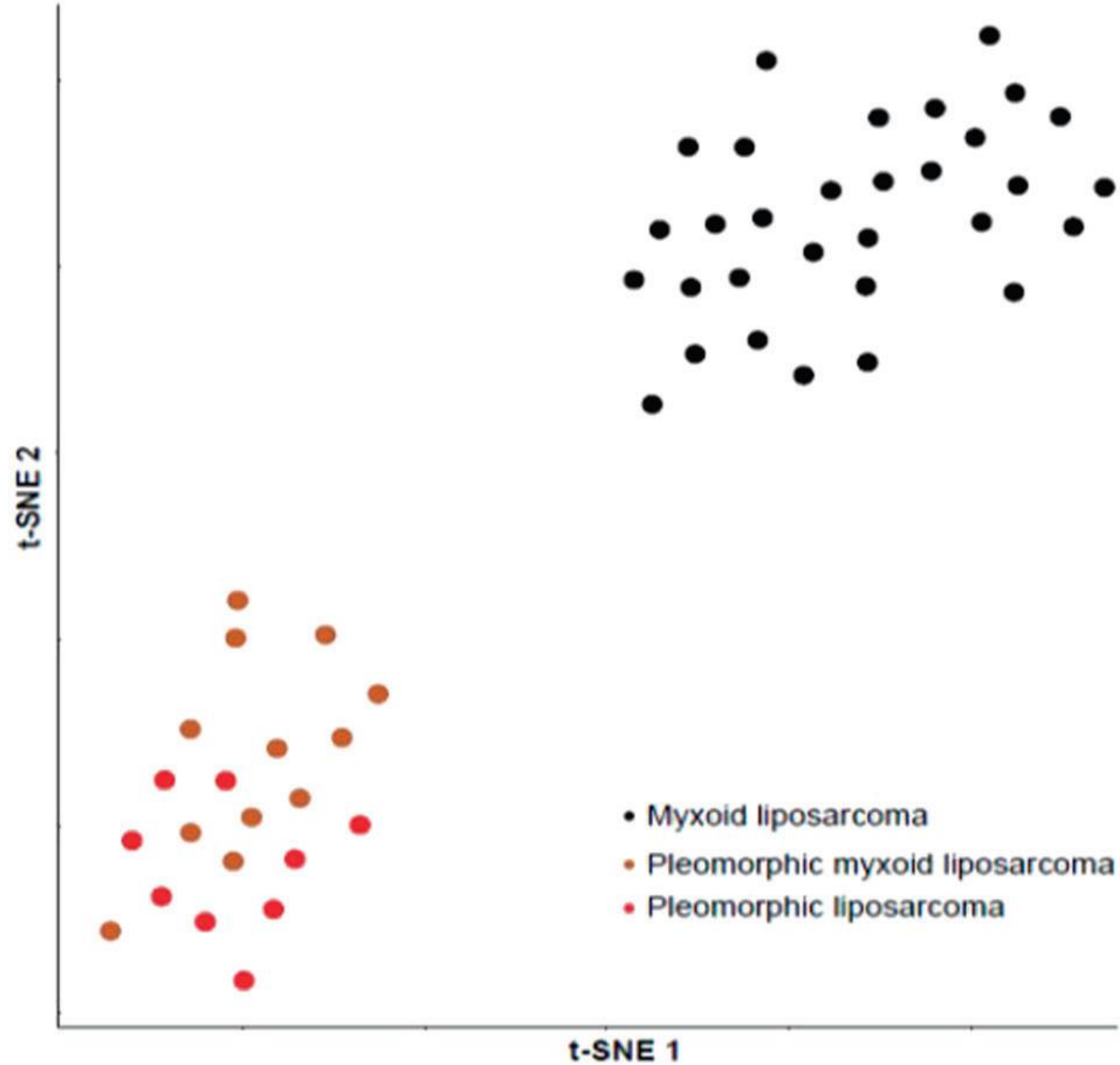
PMID: 27515548 DOI: 10.1016/j.prp.2016.08.001

Pleomorphic liposarcoma (PLPS) (ICD-O: 8854/3)				
Επιδημιολογικά στοιχεία	Μακροσκοπικά ευρήματα	Μικροσκοπικά ευρήματα	Μοριακές αλλαγές	Πρόγνωση
<ul style="list-style-type: none"> • <5% λιποσαρκωμάτων • Ενήλικες (7^η δεκαετία) • Σπάνια στην παιδική/εφηβική ηλικία • 2/3 μηρός • Σπάνια μεσοθωράκιο 	<ul style="list-style-type: none"> • Ευμεγέθους περιγεγραμμένη, μη-εγκαψωμένη ή μη-περιγεγραμμένη, διηθητική εξεργασία • Λευκόφαιη-καστανόφαιη σαρκωματοειδούς υφής επιφάνεια διατομής • Νεκρώσεις (συχνές) • Εστιακά μυξοειδής σύσταση 	<ul style="list-style-type: none"> • Απουσία ευρημάτων άτυπου λιπωματώδους όγκου • Υψηλή κυτταροβρίθεια • Διάχυτο πρότυπο ανάπτυξης • Έντονη πλειομορφία/ατυπία • Υψηλή μιτωτική δραστηριότητα • Παρουσία άτυπων μιτώσεων • Παρουσία πλειόμορφων λιποβλαστών • Απουσία λιποβλαστών σε διάφορα στάδια ωρίμανσης • Απουσία ώριμων λιποκυττάρων • Επιθηλιοειδής υπότυπος 	<ul style="list-style-type: none"> • Μη-ειδικός ανοσοφαινότυπος • Σύνθετος καρυότυπος (αριθμητικές/δομικές χρωμοσωματικές ανωμαλίες) • Απώλεια 13q (<i>RB1</i>) • Απουσία 12q13-15 ενίσχυσης (<i>MDM2</i>, <i>CDK4</i>) • Απουσία <i>FUS/EWSR1-DDIT3</i> γονιδιακής σύντηξης 	<ul style="list-style-type: none"> • 30-50% τοπική υποτροπή/μεταστάσεις

Myxoid pleomorphic liposarcoma (MPLPS) (ICD-O: 8859/3)					
Επιδημιολογικά στοιχεία	Μακροσκοπικά ευρήματα	Μικροσκοπικά ευρήματα		Μοριακές αλλαγές	Πρόγνωση
<ul style="list-style-type: none"> Πολύ σπάνια οντότητα Παιδική/εφηβική ηλικία και νεαροί ενήλικες (<30 ετών) Συχνά μεσοθωράκιο 	<ul style="list-style-type: none"> Ευμεγέθης, μη-περιγεγραμμένη διηθητική εξεργασία Περιοχές λευκόφαιης-καστανόφαιης σαρκωματοειδούς υφής επιφάνεια διατομής Μυξοειδής σύσταση 	Περιοχές τύπου μυξοειδούς λιποσαρκώματος: <ul style="list-style-type: none"> Ομοιόμορφα ωοειδή/ατρακτόμορφα αρχέγονα μεσεγχυματικά κύτταρα Λιποβλάστες σε διάφορα στάδια ωρίμανσης Μυξοειδές στρώμα Πλούσιο τριχοειδές αγγειακό δίκτυο (“chicken-wire”) Δίκηνη “πνευμονικού οιδήματος” πρότυπο ανάπτυξης 	Περιοχές τύπου πλειόμορφου λιποσαρκώματος: <ul style="list-style-type: none"> Υψηλή κυτταροβρίθεια Διάχυτο πρότυπο ανάπτυξης Έντονη πλειομορφία/ατυπία Υψηλή μιτωτική δραστηριότητα Παρουσία άτυπων μιτώσεων Παρουσία πλειόμορφων λιποβλαστών 	<ul style="list-style-type: none"> Μη-ειδικό ανοσοφαινότυπο Σύνθετο καρυότυπο (αριθμητικές χρωμοσωματικές ανωμαλίες) Απώλεια 13q (<i>RB1</i>) Σύνδρομο Li-Fraumeni Απουσία 12q13-15 ενίσχυσης (<i>MDM2, CDK4</i>) Απουσία <i>FUS/EWSR1-DDIT3</i> γονιδιακής σύντηξης 	Πολύ επιθετική οντότητα (τοπικές υποτροπές/μεταστάσεις)

Διαφορική διάγνωση

- Μυξοειδές λιποσάρκωμα (MLPS)
- Πλειόμορφο λιποσάρκωμα (PLPS)
- Αδιαφοροποίητο λιποσάρκωμα (DDLPS)
- Άτυπος λιπωματώδης όγκος/Καλά διαφοροποιημένο λιποσάρκωμα (ALT/WDL)
- Άτυπος ατρακτοκυτταρικός/πλειόμορφος λιπωματώδης όγκος
- Μυξοϊνοσάρκωμα
- Μυξοειδές λειομυοσάρκωμα/Μυξοειδές MPNST/Εξωσκελετικό μυξοειδές χονδροσάρκωμα



Συμπερασματικά

- Τα νεοπλάσματα των ελύτρων των περιφερικών νεύρων και του λιπώδους ιστού (τόσο καλοήθη όσο και κακοήθη) αποτελούν συχνές οντότητες
- Η διαφορική διάγνωση βασίζεται πρωτίστως στα μορφολογικά και τα κλινικά ευρήματα (ηλικία, θέση εντόπισης) και δευτερευόντως στα μοριακά ευρήματα

Βιβλιογραφία

- WHO Classification of Tumours Editorial Board. *Soft Tissue and Bone Tumours*. 5th ed. World Health Organization; 2020.
- Miettinen MM, Antonescu CR, Fletcher CDM, et al. Histopathologic evaluation of atypical neurofibromatous tumors and their transformation into malignant peripheral nerve sheath tumor in patients with neurofibromatosis 1-a consensus overview. *Hum Pathol*. 2017;67:1-10.
- Rodriguez FJ, Folpe AL, Giannini C, Perry A. Pathology of peripheral nerve sheath tumors: diagnostic overview and update on selected diagnostic problems. *Acta Neuropathol*. 2012;123(3):295-319.
- Sbaraglia M, Bellan E, Dei Tos AP. The 2020 WHO Classification of Soft Tissue Tumours: news and perspectives. *Pathologica*. 2021;113(2):70-84.

Βιβλιογραφία

- Baranov E, Black MA, Fletcher CDM, et al. Nuclear expression of DDIT3 distinguishes high-grade myxoid liposarcoma from other round cell sarcomas. *Mod Pathol an Off J United States Can Acad Pathol Inc.* 2021;34(7):1367-1372.
- Abdelaziz MM, Tayel HY, Abdel-Bary A, et al. Expression of CTAG1B clone EPR13780 versus DDIT3 gene rearrangement distinguishes myxoid liposarcoma from its mimics with detection of novel DDIT3 gene copy number variations. *J Histotechnol.* Published online November 2021:1-10.
- Uchihashi K, Matsuyama A, Nakayama M, et al. Myxoid liposarcoma with pleomorphic cells: Report of two cases with molecular confirmation of FUS gene rearrangements. *Pathol Res Pract.* 2016;212(11):1067-1070.
- Suster DI, Suster S. Liposarcomas of the mediastinum. *Mediastinum (Hong Kong, China).* 2020;4:27.

Βιβλιογραφία

- Hofvander J, Jo VY, Ghanei I, et al. Comprehensive genetic analysis of a paediatric pleomorphic myxoid liposarcoma reveals near-haploidization and loss of the RB1 gene. *Histopathology*. 2016;69(1):141-147.
- Alaggio R, Coffin CM, Weiss SW, et al. Liposarcomas in young patients: a study of 82 cases occurring in patients younger than 22 years of age. *Am J Surg Pathol*. 2009;33(5):645-658.
- Creytens D, Folpe AL, Koelsche C, et al. Myxoid pleomorphic liposarcoma-a clinicopathologic, immunohistochemical, molecular genetic and epigenetic study of 12 cases, suggesting a possible relationship with conventional pleomorphic liposarcoma. *Mod Pathol an Off J United States Can Acad Pathol Inc*. 2021;34(11):2043-2049.
- Coffin CM, Alaggio R. Adipose and myxoid tumors of childhood and adolescence. *Pediatr Dev Pathol Off J Soc Pediatr Pathol Paediatr Pathol Soc*. 2012;15(1 Suppl):239-254.

Βιβλιογραφία

- Haddox CL, Riedel RF. Recent advances in the understanding and management of liposarcoma. *Fac Rev.* 2021;10:1.
- Thway K. What's new in adipocytic neoplasia? *Histopathology.* 2022;80(1):76-97.
- Lee ATJ, Thway K, Huang PH, et al. Clinical and Molecular Spectrum of Liposarcoma. *J Clin Oncol.* 2018;36(2):151-159.
- Creytens D. A contemporary review of myxoid adipocytic tumors. *Semin Diagn Pathol.* 2019;36(2):129-141.

Βιβλιογραφία

- Abaricia S, Hirbe AC. Diagnosis and Treatment of Myxoid Liposarcomas: Histology Matters. *Curr Treat Options Oncol.* 2018;19(12):64.
- Ameloot E, Cordier F, Van Dorpe J, et al. Update of Pediatric Lipomatous Lesions: A Clinicopathological, Immunohistochemical and Molecular Overview. *J Clin Med.* 2022;11(7).
- Creytens D. What's new in adipocytic neoplasia? *Virchows Arch.* 2020;476(1):29-39.
- Demicco EG. Molecular updates in adipocytic neoplasms. *Semin Diagn Pathol.* 2019;36(2):85-94.

Βιβλιογραφία

- Thway K, Fisher C. Mesenchymal Tumors with EWSR1 Gene Rearrangements. *Surg Pathol Clin*. 2019;12(1):165-190
- Assi T, Kattan J, El Rassy E, et al. A comprehensive review of the current evidence for trabectedin in advanced myxoid liposarcoma. *Cancer Treat Rev*. 2019;72:37-44
- Crago AM, Dickson MA. Liposarcoma: Multimodality Management and Future Targeted Therapies. *Surg Oncol Clin N Am*. 2016;25(4):761-773
- Droop E, Orosz Z, Michal M, et al. A lipoblastoma-like tumour of the testicular cord: male counterpart of lipoblastoma-like tumour of the vulva. *Histopathology*. October 2019